



**UNIVERSIDADE FEDERAL DO CEARÁ  
CENTRO DE CIÊNCIAS  
DEPARTAMENTO DE MATEMÁTICA  
PROGRAMA DE PÓS-GRADUAÇÃO EM MATEMÁTICA**

**ALEXANDRE CÉSAR GURGEL FERNANDES**

**SEMICOMPLEXOS DE HÖLDER**

**FORTALEZA**

**1999**

ALEXANDRE CÉSAR GURGEL FERNANDES

SEMICOMPLEXOS DE HÖLDER

Dissertação apresentada ao Programa de Pós-Graduação em Matemática, da Universidade Federal do Ceará, como requisito para a obtenção do título de Mestre em Matemática.

Orientador: Prof. Lev Birbrair.

FORTALEZA

1999

Dados Internacionais de Catalogação na Publicação  
Universidade Federal do Ceará  
Sistema de Bibliotecas

Gerada automaticamente pelo módulo Catalog, mediante os dados fornecidos pelo(a) autor(a)

---

F398s Fernandes, Alexandre César Gurgel.  
Semicomplexos de Hölder / Alexandre César Gurgel Fernandes. – 1999.  
35 f. : il.

Dissertação (mestrado) – Universidade Federal do Ceará, Centro de Ciências, Programa de Pós-Graduação  
em Matemática, Fortaleza, 1999.  
Orientação: Prof. Dr. Lev Birbrair .

1. Matemática. 2. Conjuntos semialgébricos. I. Título.

CDD 510

---

ALEXANDRE CÉSAR GURGEL FERNANDES

SEMICOMPLEXOS DE HÖLDER

Dissertação apresentada ao Programa de Pós-Graduação em Matemática, da Universidade Federal do Ceará, como requisito para a obtenção do título de Mestre em Matemática.

Orientador: Prof. Lev Birbrair.

Aprovada em: 04/01/1999.

BANCA EXAMINADORA

---

Prof. Lev Birbrair (Orientador)

---

Profª. Maria Aparecida Soares Ruas

---

Prof. Plácido Francisco de Assis Andrade

FORTALEZA

1999

Aleluia! Louvado seja o nome de Jesus.

## **Agradecimentos**

Agradeço ao Professor L. Birbrair pelo excelente trabalho de orientação, agradeço também a C. Humberto e M. Ruas pela leitura final desse trabalho e por sugestões apresentadas e, finalmente, a P. César pelo total apoio técnico.

# Semicomplexos de Hölder

Alexandre César Gurgel Fernandes

**UFC - Departamento de Matemática  
Dissertação de Mestrado**

16 de Dezembro de 1999

## Conteúdo

<b>1</b>	<b>Preliminares</b>	<b>4</b>
<b>2</b>	<b>Semicomplexos</b>	<b>9</b>
<b>3</b>	<b>Curvas semi-algébricas e semicomplexos</b>	<b>12</b>
<b>4</b>	<b>Classificação</b>	<b>18</b>
<b>5</b>	<b>Realização geométrica de SCH.</b>	<b>31</b>
<b>6</b>	<b>Conexão com Mergulhos Normais</b>	<b>33</b>

Nesta monografia, fazemos uma abordagem de conjuntos semi-algébricos sob o ponto de vista métrico, mais especificamente, analisamos germes de conjuntos semi-algébricos de dimensão 1 munidos da métrica euclidiana induzida. Temos muitas informações a respeito da topologia local de conjuntos semi-algébricos, por exemplo, o Teorema de Estrutura Cônica Local. Este teorema, dentre outras aplicações, classifica germes de conjuntos semi-algébricos, de dimensão 1, módulo uma relação topológica, a saber:

dados  $A, B \subset \mathbb{R}^n$  (subespaços),  $a \in A, b \in B$ , os pares  $(A, a)$  e  $(B, b)$  são ditos *localmente homeomorfos* se existem vizinhanças  $V$  de  $a$  em  $A$ ,  $W$  de  $b$  em  $B$  e um homoeomorfismo  $F : (V, a) \rightarrow (W, b)$ . Relembrando,  $F : (V, a) \rightarrow (W, b)$  significa que  $F : V \rightarrow W$  é uma aplicação tal que  $F(a) = b$ .

Diante da classificação topológica sugerida acima, é natural um questionamento a respeito de classificações módulo relações mais fortes do que homeomorfismo, por exemplo, podemos considerar tais conjuntos singulares munidos de uma métrica (natural), e considerar, além da topologia, os "aspectos geométricos". Podemos munir tais conjuntos de duas métricas naturais, a primeira é a métrica euclidiana induzida de  $\mathbb{R}^n$  e a segunda é a métrica geodésica relativa à métrica supracitada. A métrica geodésica não é, em geral, equivalente à métrica induzida, por exemplo, no caso de  $q$ -triângulos de Hölder<sup>1</sup> para  $q > 1$ , não temos tal equivalência, como veremos nas considerações finais dessa monografia.

Consideramos  $\mathcal{C}$  o conjunto dos pares  $(A, a)$  tal que  $A \subset \mathbb{R}^2$  é um conjunto semi-algébrico de dimensão 1 (curva semi-algébrica) e  $a \in A$ . Em  $\mathcal{C}$ , consideramos a seguinte relação:

dados  $(A, a)$  e  $(B, b)$  em  $\mathcal{C}$ , dizemos que esses elementos são *localmente Lipschitz equivalentes*, e denotamos  $(A, a) \sim (B, b)$ , se existem vizinhanças  $V$  de  $a$  em  $A$ ,  $W$  de  $b$  em  $B$  e uma aplicação bi-lipschitziana  $F : (V, a) \rightarrow (W, b)$ .

Pretendemos classificar os elementos de  $\mathcal{C}$  segundo a relação " $\sim$ ". Observamos que a relação " $\sim$ " depende de uma métrica. No caso em que a métrica, fixada a priori, é a métrica geodésica, o problema de classificação não é muito interessante porque tal problema é equivalente ao de classificação topológica. "É como se a métrica geodésica não fizesse distinção entre as singularidades".

---

<sup>1</sup>Conjunto definido no Capítulo 1 e denotado por  $T_q$ .

Por exemplo, consideremos os seguintes triângulos de Hölder:  $T_1$  e  $T_q$ ,  $q > 1$ . Os elementos  $(T_1, 0)$  e  $(T_q, 0)$  são localmente Lipschitz equivalentes quando a métrica considerada é a métrica geodésica, no entanto, não são localmente Lipschitz equivalentes quando a métrica considerada é a métrica euclidiana induzida.

Este fenômeno em que o problema de classificação  $(\mathcal{C}, \sim)$ , quando a métrica considerada é a métrica geodésica, é equivalente ao problema de classificação topológica, citado no início, não é verdade em geral. Por exemplo, no caso de conjuntos semi-algébricos de dimensão 2, discutido em [Bi]. Por outro lado, num certo sentido, a métrica geodésica ainda continua ignorando singularidades, que a métrica induzida não ignora.

Dando uma idéia de como subdividimos essa monografia, temos no Capítulo 1 alguns resultados que serão básicos para a teoria que discutiremos, dentre eles temos o Teorema de Tarski-Seidenberg, a boa decomposição de um germe de curva semi-algébrica que é essencialmente o Teorema de Estrutura Cônica Local e a decomposição de Puiseux de uma função semi-algébrica.

No Capítulo 2, introduzimos um objeto combinatorial que denominamos Semicomplexo, mas não demoramos muito nesse assunto, pelo menos até surgir uma conexão entre tal objeto e curvas semi-algébricas.

Já no Capítulo 3, mostramos como o conceito de semicomplexo aparece quando resolvemos analisar curvas semi-algébricas sob seus aspectos métricos.

O Capítulo 4 é destinado ao Teorema de Classificação, e este é o capítulo em que mais demoramos. Neste capítulo, calculamos alguns semicomplexos, apresentamos um lema de comparação das ordens de duas funções importantes no desenvolvimento dessa teoria e findamos com uma demonstração do Teorema de Classificação, do problema  $(\mathcal{C}, \sim)$ , segundo a métrica induzida.

No Capítulo 5 demonstramos um Teorema de Realização, isto é, resolvemos o problema de prescrever o semicomplexo de um germe de curva semi-algébrica.

Finalmente, destinamos o Capítulo 6 à conexão dessa discussão com o problema de mergulhos normais de germes de curvas semi-algébricas.

# 1 Preliminares

Dizemos que um subconjunto  $A \subset \mathbb{R}^n$  é *semi-algébrico* se existem polinômios  $f_{ij}, g_{ij}$ , em  $n$  variáveis,  $i = 1, \dots, p$ ,  $j = 1, \dots, q$  tais que

$$A = \bigcup_{i=1}^p \{x \in \mathbb{R}^n; f_{ij}(x) = 0, g_{ij}(x) > 0, j = 1, \dots, q\}$$

**Exemplo 1.1.** Sejam  $q \in \mathbb{Q}^+$  e

$$T_q = \{(x, y) \in \mathbb{R}^2; 0 \leq x \leq 1 \text{ e } [y = x^q \text{ ou } y = 0]\}.$$

Temos que  $T_q \subset \mathbb{R}^2$  é semi-algébrico. Quando  $q \geq 1$ , dizemos que  $T_q$  é o *q-triângulo de Hölder*.

**Exemplo 1.2.** Sendo

$$S^1 = \{(x, y) \in \mathbb{R}^2; x^2 + y^2 = 1\},$$

temos, claramente, que  $S^1 \subset \mathbb{R}^2$  é semialgébrico. Mais geralmente, se  $p : \mathbb{R}^n \rightarrow \mathbb{R}$  é um polinômio, então  $A = p^{-1}(0) \subset \mathbb{R}^n$  é semi-algébrico, e neste caso dizemos que  $A \subset \mathbb{R}^n$  é *algébrico*.

**Observação 1.1.** A classe dos subconjuntos semi-algébricos de  $\mathbb{R}^n$  é estável por união finita, interseção finita e complementação,  $\forall n \in \mathbb{N}$ .

**Observação 1.2.** Um fato, que não é óbvio, é que se  $A \subset \mathbb{R}^n$  é semi-algébrico, então existem subvariedades  $A_1, \dots, A_s$ , conexas, semi-algébricas, de  $\mathbb{R}^n$  tais que  $A = \bigcup_i A_i$ . Então, definimos a *dimensão* de  $A$  como o supremo das dimensões (topológicas) de  $A_1, \dots, A_s$ . Em [BCR], nas Proposições 2.8.5 e 2.8.13, está provado que o supremo supracitado é a dimensão de Krull do anel quociente de  $\mathbb{R}[X_1, \dots, X_n]$  pelo ideal  $\mathcal{I}(A)$  formado pelos polinômios que se anulam em todo o conjunto  $A$ , logo a definição acima não depende da decomposição escolhida. Dizemos que  $A$  é uma *curva semi-algébrica* se a dimensão de  $A$  é 1.

**Boa decomposição.** Sejam  $A \subset \mathbb{R}^n$  e  $a \in A$ . Dizemos que  $A_1, \dots, A_k \subset \mathbb{R}^n$  é uma *boa decomposição* de  $(A, a)$  se:

- 1)  $A_1, \dots, A_n$  são semi-algébricos;
- 2)  $A_i \cap A_j = \{a\}$  se  $i \neq j$ ;
- 3)  $\exists \epsilon > 0$  tal que  $\forall 0 < \delta \leq \epsilon$  as componentes conexas de  $A \setminus \{a\} \cap B_\delta(a)$  são  $A_i \setminus \{a\} \cap B_\delta(a)$  e  $\#A_i \cap S_\delta(a) = 1$ ,  $\forall i = 1, \dots, n$ .

**Observação 1.3.** Dados  $A \subset \mathbb{R}^n$  curva semi-algébrica e  $a \in A$ , é um fato que  $(A, a)$  sempre admite uma boa decomposição, e isto decorre imediatamente do Teorema de Estrutura Cônica Local, veja [BCR] ou [BR].

Seja  $A \subset \mathbb{R}^n$  semi-algébrico. Dizemos que uma aplicação  $F : A \rightarrow \mathbb{R}^k$  é *semi-algébrica* se o seu gráfico  $G_F \subset \mathbb{R}^{n+k}$  é semi-algébrico.

**Exemplo 1.3.** Seja  $\pi : S^1 \rightarrow \mathbb{R}$  a projeção  $\pi(x, y) = x$ . Temos que

$$G_\pi = \{(x, y, z) \in \mathbb{R}^3; x^2 + y^2 = 1 \text{ e } x = z\}$$

é um subconjunto semi-algébrico de  $\mathbb{R}^3$ . Logo,  $\pi$  é semi-algébrica. Observemos que  $\pi(S^1) \subset \mathbb{R}$  é semi-algébrico, porém  $\pi(S^1) \subset \mathbb{R}$  não é algébrico. Então, esse é um contra-exemplo para a afirmação que a classe dos conjuntos algébricos é estável por projeções. Por outro lado, temos

**Teorema 1.1 (Tarski-Seidenberg).** Sejam  $\mathbb{R}^n = \mathbb{R}^k \times \mathbb{R}^{n-k}$  uma decomposição de  $\mathbb{R}^n$  em soma direta de espaços euclidianos e  $\pi : \mathbb{R}^n \rightarrow \mathbb{R}^k$  a projeção  $\pi(x, y) = x$ . Se  $A \subset \mathbb{R}^n$  é semi-algébrico, então  $\pi(A) \subset \mathbb{R}^k$  é semi-algébrico.

**Corolário 1.1.** Seja  $A \subset \mathbb{R}^n$  semi-algébrico. Se  $F : A \rightarrow \mathbb{R}^k$  é semi-algébrica, então  $F(A) \subset \mathbb{R}^k$  é semi-algébrico.

**Prova.** Admitindo  $F : A \rightarrow \mathbb{R}^k$  semi-algébrica temos que

$$G_F = \{(x, F(x)) \in \mathbb{R}^n \times \mathbb{R}^k; x \in A\} \subset \mathbb{R}^n \times \mathbb{R}^k$$

é semi-algébrico. Agora, pelo Teorema 1.1 (T-S), temos que  $A = \pi(G_F) \subset \mathbb{R}^k$  é semi-algébrico.

Para uma demonstração de T-S, veja [BR].

**Exemplo 1.4.** Sejam  $A, B \subset \mathbb{R}^n$  semi-algébricos e  $x = 0 \in A \cap B$ . Seja  $f : [0, r_0] \rightarrow \mathbb{R}$  dada por

$$f(r) = \text{dist}(A \setminus B_r(x), B \setminus B_r(x))$$

(a métrica considerada é a euclidiana induzida). Suponhamos a boa definição de  $f$ , isto é,  $\forall 0 \leq r \leq r_0$  temos  $A \setminus B_r(x) \neq \emptyset$  e  $B \setminus B_r(x) \neq \emptyset$ . Afirmamos que  $f$  é uma função semi-algébrica. De fato, sendo

$$\begin{aligned} G_1 &= \{(r, t) \in \mathbb{R}^2; 0 \leq r \leq r_0 \text{ e } t > 0\} \\ G_2 &= \{(r, t) \in \mathbb{R}^2; |a - b|^2 \geq t^2 \forall (a, b) \in A \times B; |a|^2 = |b|^2 = r^2\} \\ G_3 &= \{(r, t) \in \mathbb{R}^2; \forall \epsilon > 0, \exists (a, b) \in A \times B; |a|^2 = |b|^2 = r^2 \text{ e} \\ &\quad [t^2 + \epsilon - |a - b|^2 > 0]\} \end{aligned}$$

temos

$$G_f = \bigcap_{i=1}^3 G_i.$$

Claramente, temos  $G_1 \subset \mathbb{R}^2$  semi-algébrico. Também,  $G_2 \subset \mathbb{R}^2$  é semi-algébrico, pois sendo

$$\begin{aligned} D &= \{(r, t, a, b) \in \mathbb{R} \times \mathbb{R} \times \mathbb{R}^n \times \mathbb{R}^n; (a, b) \in A \times B \text{ e} \\ &\quad [|a - b|^2 - t^2 < 0 \text{ ou } |a|^2 \neq r^2 \text{ ou } |b|^2 \neq r^2]\}. \end{aligned}$$

e

$$\pi : \mathbb{R} \times \mathbb{R} \times \mathbb{R}^n \times \mathbb{R}^n \rightarrow \mathbb{R} \times \mathbb{R}$$

a projeção  $\pi(r, t, x, y) = (r, t)$ , temos  $D \subset \mathbb{R}^{2n+2}$  semi-algébrico e

$$G_2 = \mathbb{R}^2 \setminus \pi(D).$$

Por Tarski-Seidenberg,  $G_2 \subset \mathbb{R}^2$  é semi-algébrico.

Agora, sejam  $p$  um polinômio em  $n + m + 1$  variáveis e  $S \subset \mathbb{R}^m$  semi-algébrico. Então

$$A = \{x \in \mathbb{R}^n; \forall \epsilon > 0 \exists s \in S; p(x, s, \epsilon) \neq 0\}$$

em que  $\sigma \in \{=, >\}$ , é um subconjunto semi-algébrico de  $\mathbb{R}^n$ . De fato, Consideremos as seguintes projeções

$$\begin{aligned}\pi &: \mathbb{R}^n \times \mathbb{R}^m \times \mathbb{R} \rightarrow \mathbb{R}^n \times \mathbb{R}; \pi(x, y, t) = (x, t) \\ \pi' &: \mathbb{R}^n \times \mathbb{R} \rightarrow \mathbb{R}^n; \pi'(x, t) = x.\end{aligned}$$

Vendo que

$$A = \mathbb{R}^n \setminus \pi' [\mathbb{R}^n \times \mathbb{R} \setminus \pi \{ (x, y, t) \in \mathbb{R}^n \times \mathbb{R}^m \times \mathbb{R}; y \in S \text{ e } [t \leq 0 \text{ ou } p(x, y, t) \sigma 0] \}],$$

temos, por Tarski-Seidenberg, que  $A \subset \mathbb{R}^n$  é semi-algébrico. Decorre, daí, que  $G_3 \subset \mathbb{R}^2$  é semi-algébrico.

**Exemplo 1.5.** Com as mesmas notações do exemplo acima, temos que

$$g : [0, t_0] \rightarrow \mathbb{R}$$

dada por

$$g(r) = \text{dist}(A \cap S_r(a), B \cap S_r(a))$$

é semi-algébrica.

**Decomposição de Puiseux.** Seja  $f : [0, t_0] \rightarrow \mathbb{R}$  semi-algébrica;  $f(0) = 0$ . Pelo Teorema de Puiseux, veja [Pa], temos que existem  $n \in \mathbb{N}$  e  $\epsilon > 0$  tais que  $g : [0, \epsilon] \rightarrow \mathbb{R}$  dada por  $g(r) = f(r^n)$  é analítica. Supondo  $g$  não constante, seja  $m \in \mathbb{N}$  a (multiplicidade de  $g$  no ponto 0). Assim, existe  $\tilde{h} : [0, \epsilon] \rightarrow \mathbb{R}$  analítica;  $\tilde{h}(0) \neq 0$  tal que

$$g(r) = r^m \tilde{h}(r), \forall r \in [0, \epsilon].$$

Daí, temos

$$f(r) = r^{\frac{m}{n}} \tilde{h}\left(r^{\frac{1}{n}}\right), \forall r \in [0, \epsilon^n].$$

Fazendo  $q = \frac{m}{n}$  e  $h(r) = \tilde{h}\left(r^{\frac{1}{n}}\right)$ , temos

$$f(r) = r^q h(r), \forall r \in [0, \epsilon^n]. \quad (*)$$

Dizemos que  $(*)$  é a *decomposição de Puiseux de  $f$  em 0*.

Para finalizar este capítulo, descreveremos o ângulo de Hölder entre conjuntos semi-algébricos.

**Ângulo de Hölder.** Sejam  $A, B \subset \mathbb{R}^n$  semi-algébricos,  $a \in A \cap B$ , tais que para um  $t_0 > 0$  a função

$$f : [0, t_0] \rightarrow \mathbb{R}$$

semi-algébrica, dada por

$$f(r) = \text{dist}(A \setminus B_r(a), B \setminus B_r(a))$$

está bem definida. Seja  $f(r) = r^q h(r)$  a decomp. de Puiseux de  $f$  no ponto 0. Então dizemos que  $q$  é o *ângulo de Hölder, no ponto  $a$ , entre  $A$  e  $B$* . E usamos a seguinte notação

$$H_a(A, B) = q.$$

## 2 Semicomplexos

Seja  $\mathfrak{R}$  a coleção de todos os pares  $(R, \alpha)$  em que  $R$  é um conjunto finito e  $\alpha : R \times R \rightarrow \mathbb{R}$  é uma função satisfazendo:

- i)  $\alpha(r, r) = 0, \forall r \in R$ ;
- ii)  $\alpha(r, s) = \alpha(s, r), \forall r, s \in R$ .

**Exemplo 2.1.** Consideremos  $R \subset \mathbb{R}$  um subconjunto finito e  $\alpha : R \times R \rightarrow \mathbb{R}$  dada por  $\alpha(r, s) = (r - s)^2$ . Então,  $(R, \alpha) \in \mathfrak{R}$ .

**Exemplo 2.2.** Consideremos  $R$  um conjunto finito e  $\phi : R \times R \rightarrow \mathbb{R}$  dada por

$$\phi(r, s) = \begin{cases} 0 & \text{se } r = s, \\ 1 & \text{se } r \neq s. \end{cases}$$

(métrica zero-um). Também,  $(R, \phi) \in \mathfrak{R}$ .

Em  $\mathfrak{R}$ , consideremos a seguinte relação:

dados  $(R, \alpha)$  e  $(S, \beta)$  em  $\mathfrak{R}$ , temos  $(R, \alpha) \approx (S, \beta)$  se, e somente se, existe uma bijeção  $\Phi : R \rightarrow S$  tal que  $\beta(\Phi(a), \Phi(b)) = \alpha(a, b) \forall a, b \in R$ .

Não é difícil verificar que " $\approx$ " é uma relação de equivalência em  $\mathfrak{R}$ . Denotaremos  $[R, \alpha] = \{(S, \beta) \in \mathfrak{R}; (R, \alpha) \approx (S, \beta)\}$  e  $\tilde{\mathfrak{R}} = \{[R, \alpha]; (R, \alpha) \in \mathfrak{R}\}$ . Um elemento de  $\tilde{\mathfrak{R}}$  será chamado um *seicomplexo*.

Um seicomplexo  $\Gamma$  é dito um *seicomplexo de Hölder* (SCH) se  $\forall (R, \alpha) \in \Gamma$ , temos:

- iii)  $\forall r, s, t \in R$  dois a dois distintos,

$$\alpha(r, s) \leq \alpha(s, t) \leq \alpha(r, t) \Rightarrow \alpha(r, s) = \alpha(s, t)$$

- iv)  $\forall r, s \in R$  distintos,  $\alpha(r, s)$  é um racional maior do que ou igual a 1.

**Proposição 2.1.** Seja  $\Gamma$  um seicomplexo. Se existe  $(R, \alpha) \in \Gamma$  satisfazendo as propriedades (iii) e (iv), acima, então  $\Gamma$  é um SCH.

**Exemplo 2.3.** Seja  $\Gamma$  um semicomplexo tal que  $v(\Gamma) \leq 2$ . Se  $\forall (\alpha, R) \in \Gamma$ , temos  $\alpha(r, s) \in \mathbb{Q} \cap [1, +\infty)$  se  $r \neq s$ . Então  $\Gamma$  é um SCH.

**Proposição 2.2.** Se  $\Gamma$  é um SCH, então  $\#(\alpha(R \times R)) \leq v(\Gamma)$ ,  $\forall (R, \alpha) \in \Gamma$ .

**Prova.** Por indução sobre  $n = \#R$ . Caso  $n = 1, 2$ , claro que não há o que fazer. Podemos supor  $n \geq 3$  e que para  $n - 1$  o resultado desejado seja verdadeiro. Sejam  $r \in R$ ,  $S = R \setminus \{r\}$  e  $\beta : S \times S \rightarrow \mathbb{R}$  dada por  $\beta(s, t) = \alpha(s, t)$ . Verifica-se, facilmente que  $(S, \beta) \in \mathfrak{R}$  e que  $[S, \beta]$  é um SCH. Então, por hipótese de indução,  $\#(\beta(S \times S)) \leq \#S = n - 1$ . Para que ocorra  $\#(\alpha(R \times R)) > n$ , é necessário que existam  $s, t \in S$  distintos tais que  $\alpha(r, s) < \alpha(r, t)$  e  $\alpha(r, s), \alpha(r, t) \notin \beta(S \times S)$ . Por outro lado, por (iii), temos que  $\alpha(r, s) < \alpha(r, t) \Rightarrow \alpha(r, s) = \alpha(s, t) \in \beta(S \times S)$ . Assim, concluímos que  $\#(\alpha(R \times R)) \leq n$ . ■

Consideremos um semicomplexo  $\Gamma$ . Dado  $(R, \alpha) \in \Gamma$ ;  $R = \{r_1, \dots, r_n\}$ . Às vezes, usaremos a seguinte notação

$$\Gamma : \begin{bmatrix} \alpha_{12} & \dots & \alpha_{1n} \\ \ddots & \ddots & \vdots \\ & & \alpha_{n-1n} \end{bmatrix}$$

para representar  $\Gamma$ . Em que  $\alpha_{ij} := \alpha(r_i, r_j)$ . Vejamos a praticidade dessa notação, analisando a seguinte

**Pergunta.** Seja  $\Gamma$  um SCH. Existe  $(R, \alpha) \in \Gamma$  satisfazendo a seguinte propriedade de ordenação:

$$\alpha_{12} \leq \dots \leq \alpha_{1n} \leq \alpha_{23} \leq \dots \leq \alpha_{2n} \leq \dots \leq \alpha_{n-1n}?$$

**Resposta.** Nos casos  $v(\Gamma) = 2, 3$  não é difícil verificar que a resposta é positiva. Porém, no caso  $v(\Gamma) = 4$ , temos o seguinte exemplo:

$$\Gamma : \begin{bmatrix} 2 & 1 & 1 \\ & 1 & 1 \\ & & 3 \end{bmatrix}.$$

Não é difícil ver que  $\Gamma$  é um SCH. No entanto, a configuração desejada

$$[R, \alpha] : \begin{bmatrix} 1 & 1 & 1 \\ & 1 & 2 \\ & & 3 \end{bmatrix}$$

não define um SCH em  $\tilde{\mathfrak{R}}$ . Logo,  $(R, \alpha) \notin \Gamma$ .

**Exemplo 2.4.** Seja  $R = \{1, \dots, n\}$ . Dados  $1 \leq \alpha_1 \leq \dots \leq \alpha_{n-1} \in \mathbb{Q}$ , existe  $(R, \alpha) \in \mathfrak{R}$ , tal que  $\alpha(R \times R) = \{0, \alpha_1, \dots, \alpha_{n-1}\}$  e  $[R, \alpha]$  é um SCH. De fato, consideremos

$$[R, \alpha] : \begin{bmatrix} \alpha_1 & \alpha_1 & \dots & \alpha_1 \\ & \alpha_2 & \dots & \alpha_2 \\ & & \ddots & \vdots \\ & & & \alpha_{n-1} \end{bmatrix}$$

### 3 Curvas semi-algébricas e semicomplexos

Neste capítulo, veremos como semicomplexos aparecem no estudo de curvas semi-algébricas quando analisadas sob o ponto de vista métrico. Denotaremos por  $\mathcal{C}$  o conjunto dos pares  $(A, a)$  em que  $A \subset \mathbb{R}^2$  é uma curva semi-algébrica e  $a \in A$  é um ponto não isolado.

Seja  $(A, a)$  um elemento de  $\mathcal{C}$ . Consideremos  $A_1, \dots, A_n \subset \mathbb{R}^2$  uma boa decomposição<sup>2</sup> de  $A$  em  $a$ . Definamos  $R = \{A_1, \dots, A_n\}$  e  $\alpha : R \times R \rightarrow \mathbb{Q}^+$  por

$$\alpha(A_i, A_j) = H_a(A_i, A_j),$$

em que  $H_a(A_i, A_j)$  é o ângulo de Hölder<sup>3</sup>, no ponto  $a$ , entre  $A_i$  e  $A_j$ , se  $i \neq j$  e  $\alpha(A_i, A_i) = 0$ .

Definimos o *seicomplexo de A, no ponto a*, por  $\Gamma_A(a) = [R, \alpha]$ .

**Exemplo 3.1.** Dado  $q \in \mathbb{Q} \cap [1, +\infty)$ , seja

$$T_q = \{(x, y) \in \mathbb{R}^2; [y = x^q \text{ ou } y = 0] \text{ e } [0 \leq x \leq 1]\}.$$

o  $q$ -triângulo de Hölder. Consideremos

$$\begin{aligned} A_1 &= \{(x, y) \in \mathbb{R}^2; 0 > y\} \cap T_q \\ A_2 &= \{(x, y) \in \mathbb{R}^2; y = 0 \text{ e } 0 < x\} \cap T_q \end{aligned}$$

Calculemos  $\Gamma_{T_q}(0)$ . Dado  $0 < r < 1$ , sejam  $X_r \in A_1 \setminus B_r(0)$  e  $Y_r \in A_2 \setminus B_r(0)$  tais que

$$dist(A_1 \setminus B_r(0), A_2 \setminus B_r(0)) = |X_r - Y_r|.$$

Consideremos  $P : \mathbb{R}^2 \rightarrow \mathbb{R}^2$  em que  $P(x, y) = (x, 0)$ . Temos que  $\forall Z \in \mathbb{R}^2$  e  $\forall W = (w, 0) \in \mathbb{R}^2$ ,

$$|Z - P(Z)| \leq |Z - W|.$$

---

<sup>2</sup>O conceito de boa decomposição de um germe de curva semi-algébrica é apresentado no Capítulo 1.

<sup>3</sup>O ângulo de Hölder, no ponto  $a$ , entre  $A_i$  e  $A_j$  é o racional associado à função  $r \rightarrow dist(A_i \setminus B_r(a), A_j \setminus B_r(a))$ , definido no Capítulo 1.

Em particular, sendo  $X_r = (x_r, x_r^q)$ , temos

$$|X_r - P(X_r)| \leq |X_r - Y_r|.$$

Daí, pela minimalidade de  $|X_r - Y_r|$ , temos  $x_r \leq r$ .

Sendoo  $Y_r = (y_r, 0)$ , temos  $y_r \geq r$ . Se  $y_r > r$ , então temos que o ângulo  $X_r \widehat{P(R)} Y_r$  é maior do que ou igual a  $90^\circ$ , em que  $R = (r, r^q)$ .

Daí,  $|X_r - Y_r| > |X_r - P(R)|$ , absurdo. Então,  $y_r = r$ .

Agora, consideremos  $g : I \rightarrow \mathbb{R}$  dada por

$$g(x) = (x - r)^2 + x^{2q},$$

em que  $I = \{x \in (0, 1) ; x^2 + x^{2q} \geq r^2\}$ .

Temos que  $g(x_r) \leq g(x)$ ,  $\forall x \in I$ , por hipótese, e caso  $x_r^2 + x_r^{2q} > r^2$ , teríamos  $g'(x_r) = 0$ . Por outro lado,

$$g'(x_r) = 2[(x_r - r) + qx_r^{2q-1}] > 0.$$

Concluímos, com isso, que  $X_r$  é o ponto na interseção  $A_1 \cap S_r(0)$  e  $Y_r$  é o ponto na interseção  $A_2 \cap S_r(0)$ .

Agora, temos que  $r \leq x_{2r}$ . Pois,  $x_{2r} < r \Rightarrow 4r^2 = |X_{2r}|^2 = x_{2r}^2 + x_{2r}^{2q} < 2r^2 \Rightarrow 2 < 1$ . Assim,  $r^q \leq |X_{2r} - Y_{2r}| \leq 2^q r^q$ . Assim concluímos que  $\Gamma_{T_q}(0) : [q]$ .

**Exemplo 3.2.** Sejam  $m \in \mathbb{R}$ , suporemos  $m > 0$  para exemplificarmos compativelmente com a figura abaixo, e

$$A = \{(x, y) \in \mathbb{R}^2 ; y = mx \text{ ou } y = 0\}$$

$$A_1 = \{(x, y) \in \mathbb{R}^2 ; y = mx \text{ e } 0 \leq x\} \cap A$$

$$A_2 = \{(x, y) \in \mathbb{R}^2 ; y = 0 \text{ e } 0 \leq x\} \cap A$$

$$A_3 = \{(x, y) \in \mathbb{R}^2 ; y = mx \text{ e } x \leq 0\} \cap A$$

$$A_4 = \{(x, y) \in \mathbb{R}^2 ; y = 0 \text{ e } x \leq 0\} \cap A$$

Calculemos  $\Gamma_A(0)$ . Com argumentos análogos aos utilizados no Exemplo 3.1, podemos mostrar que  $\text{dist}(A_1 \setminus B_r(0), A_2 \setminus B_r(0)) = |X_r - Y_r|$  em que

$X_r$  é o ponto onde  $A_1$  intersecta  $S_r(0)$  e  $Y_r$  é o ponto onde  $A_2$  intersecta  $S_r(0)$ . Temos  $X_r = (x_r, mx_r)$  e  $Y_r = (r, 0)$ . Assim,

$$x_r^2 = \frac{1}{1+m^2}r^2$$

e, portanto,

$$\begin{aligned} d(X(r), Y(r)) &= \sqrt{(x_r - r)^2 + m^2 x_r^2} \\ &= \sqrt{\left(\frac{1}{\sqrt{1+m^2}}r - r\right)^2 + \frac{m^2}{1+m^2}r^2} \\ &= \sqrt{\frac{(1 - \sqrt{1+m^2})^2 + m^2}{1+m^2}r}. \end{aligned}$$

Então,  $H_0(A_1, A_2) = 1$ . Com o mesmo grau de dificuldade, calculamos os outros ângulos e concluímos que:

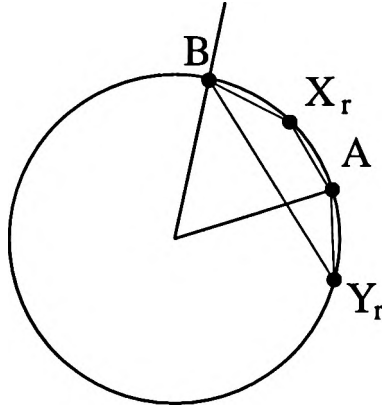
$$\Gamma_A(0) : \begin{bmatrix} 1 & 1 & 1 \\ & 1 & 1 \\ & & 1 \end{bmatrix}$$

**Exemplo 3.3.** Sejam  $m < n$  números reais positivos e:

$$\begin{aligned} K &= \{(x, y) \in \mathbb{R}^2; mx \leq y \leq nx\} \\ L &= \{(x, y) \in \mathbb{R}^2; y = 0 \text{ e } x \geq 0\} \end{aligned}$$

Observe que o bordo de  $K$  é dado pela união de duas semiretas, as quais denotaremos por  $R_1$  e  $R_2$ . Dado  $r > 0$  não é difícil mostrar que  $dist(K \setminus B_r(0), L \setminus B_r(0)) = dist(\partial K \setminus B_r(0), Y_r)$ , em que  $Y_r = (r, 0)$ . Seja  $X_r \in \partial K \setminus B_r(0)$  tal que  $|X_r - Y_r|$  realiza a distância acima. Afirmamos que  $X_r \in R_1 \cup R_2$ . De fato, caso contrário, temos a seguinte configuração:

Em que  $B$  é o ponto de  $R_2$  tal que  $|B| = r$  e  $A$  é o ponto de  $R_1$  tal que  $|A| = r$ . Temos que o quadrilátero  $AX_rBY_r$  está inscrito na circunferência  $S_r(0)$ . Pela minimalidade de  $|X_r - Y_r|$ , temos  $\overline{BY_r}$  e  $\overline{AY_r} \geq \overline{X_rY_r}$ . Logo,  $\widehat{AX_rB} = \widehat{AX_rY_r} + \widehat{Y_rX_rB} \geq \widehat{Y_rAX_r} + \widehat{X_rBY_r} = 180^\circ$ . Então, pelo Exemplo 3.2, existe uma constante  $c$ , que não depende de  $r$ , tal que  $2r \geq |X_r - Y_r| \geq cr$ .



**Observação 3.1.** Do Exemplo 3.3, podemos concluir que dois cones  $K_1$  e  $K_2$ ;  $K_1$  e  $K_2$  se intersectam apenas no vértice  $a$ , se aproximam de forma linear. Isto é, existe uma constante  $c$  tal que  $2r \geq \text{dist}(K_1 \setminus B_r(a), K_2 \setminus B_r(a)) \geq cr$ .

O próximo resultado que discutiremos, classifica totalmente triângulos de Hölder segundo uma relação de Lipschitz.

**Proposição 3.1.** Sejam  $p$  e  $q$  elementos de  $\mathbb{Q} \cap [1, +\infty)$ . Então, existe uma aplicação bi-lipschitziana

$$F : (T_p, \mathbf{0}) \rightarrow (T_q, \mathbf{0})$$

se, e somente se,  $p = q$ .

**Prova.** Suponhamos, por absurdo, que exista uma aplicação bi-lipschitziana

$$F : T_p \rightarrow T_q$$

tal que  $F(\mathbf{0}) = \mathbf{0}$  e  $p > q \geq 1$ . Sejam  $0 < c_1 \leq c_2$  constantes bi-Lipschitz de  $F$ . Denotemos

$$\begin{aligned} G_p &= \{(x, y) \in \mathbb{R}^2; 0 \leq x \leq 1 \text{ e } y = x^p\} \\ G_q &= \{(x, y) \in \mathbb{R}^2; 0 \leq x \leq 1 \text{ e } y = x^q\} \\ I &= \{(x, y) \in \mathbb{R}^2; 0 \leq x \leq 1 \text{ e } y = 0\} \end{aligned}$$

Como  $F$  é um homeomorfismo, ocorre:

a.  $F(G_p) = I$  e  $F(I) = G_q$  ou

b.  $F(G_p) = G_q$  e  $F(I) = I$ .

Caso ocorra a), consideremos  $F(x, 0) = (f(x), f(x)^q)$  e  $F(x, x^p) = (g(x), 0)$ . Temos:

$$\begin{aligned} c_1 x &= \|(x, 0)\| \leq F(x, 0) | \\ &= \sqrt{f(x)^2 + f(x)^{2q}} \leq f(x) \sqrt{2}. \end{aligned}$$

E, portanto,

$$f(x) \geq \frac{c_1}{\sqrt{2}} x, \quad \forall 0 \leq x \leq 1.$$

Por outro lado, temos:

$$\begin{aligned} c_2 x^p &= c_2 |(x, x^p) - (x, 0)| \geq |F(x, x^p) - F(x, 0)| \\ &\geq f(x)^q \geq \left(\frac{c_1}{\sqrt{2}}\right)^q x^q. \end{aligned}$$

Absurdo, pois  $p$  foi suposto maior do que  $q$  e,  $x$  pode ser escolhido positivo suficientemente próximo de 0.

Caso ocorra b), consideremos  $F(x, x^p) = (f(x), f(x)^q)$  e  $F(x, 0) = (g(x), 0)$ . Temos:

$$\begin{aligned} c_1 x &\leq c_1 |(x, x^p)| \leq |F(x, x^p)| \\ &= \sqrt{f(x)^2 + f(x)^{2q}} \leq f(x) \sqrt{2}. \end{aligned}$$

E, portanto,

$$f(x) \geq \frac{c_1}{\sqrt{2}} x, \quad \forall 0 \leq x \leq 1.$$

Por outro lado, temos:

$$\begin{aligned} c_2 x^p &= c_2 |(x, x^p) - (x, 0)| \geq |F(x, x^p) - F(x, 0)| \\ &\geq f(x)^q \geq \left(\frac{c_1}{\sqrt{2}}\right)^q x^q. \end{aligned}$$

Absurdo, pois  $p$  foi suposto maior do que  $q$  e  $x$  pode ser escolhido positivo suficientemente próximo de 0.

O resultado acima é um caso particular de um teorema que será demonstrado no capítulo seguinte. Apesar de repetitivo, resolvi apresentá-lo antecipadamente e de forma distinguida, pois acredito que esse resultado é um motivo para o próximo capítulo, que trata semicomplexos, justamente, como um invariante segundo uma relação de Lipschitz.

## 4 Classificação

Neste capítulo, discutimos a classificação bi-Lipschitz local das curvas semi-algébricas planas. Relembrando, estamos considerando  $\mathbb{R}^2$  munido da métrica euclidiana e os seus subconjuntos, em particular as curvas supracitadas, munidos da métrica induzida. Aqui,  $\mathcal{C}$  continua sendo o conjunto dos pares  $(A, a)$  em que;  $A \subset \mathbb{R}^2$  é curva semi-algébrica e  $a \in A$  é ponto não isolado. Em  $\mathcal{C}$  temos a seguinte relação de equivalência:

dados  $(A, a)$  e  $(B, b)$  em  $\mathcal{C}$ , temos  $(A, a) \sim (B, b)$  se, e somente se, existem vizinhanças  $V$  de  $a$  em  $A$ ,  $W$  de  $b$  em  $B$  e uma aplicação bi-lipschitziana  $F : V \rightarrow W$ ;  $F(a) = b$ .

**Exemplo 4.1.** Sejam

$$\begin{aligned} A &= \{(x, y) \in \mathbb{R}^2; [y = x \text{ e } 0 \leq x \leq 1] \text{ ou } [y = 0 \text{ e } 0 \leq x \leq 1]\} \\ B &= \{(x, y) \in \mathbb{R}^2; [0 \leq y \leq 1 \text{ e } x = 0] \text{ ou } [y = 0 \text{ e } 0 \leq x \leq 1]\} \end{aligned}$$

Temos que  $(A, \mathbf{0}) \sim (B, \mathbf{0})$ , em que  $\mathbf{0} = (0, 0)$

De fato, considere  $F : \mathbb{R}^2 \rightarrow \mathbb{R}^2$  dada por  $F(x, y) = (x - y, y)$ . Temos que  $F$  é uma aplicação bi-lipschitziana tal que  $F(\mathbf{0}) = \mathbf{0}$  e  $F(A) = B$ .

**Exemplo 4.2.** Como exemplo interessante de dois elementos de  $\mathcal{C}$  que não são equivalentes, segundo a relação " $\sim$ ", temos  $(T_p, \mathbf{0})$  e  $(T_q, \mathbf{0})$  em que  $p$  e  $q$  são elementos distintos de  $\mathbb{Q} \cap [1, +\infty)$ . Para provar essa afirmação, podemos recorrer à Proposição 3.1, ou ao

**Teorema 4.1 ( de Classificação ).** Sejam  $(A, a)$  e  $(B, b) \in \mathcal{C}$ .  $(A, a) \sim (B, b)$  se, e somente se,  $\Gamma_A(a) = \Gamma_B(b)$ .

**Prova.** Sem perda de generalidade, podemos supor  $a = b = \mathbf{0}$ . Admitindo que  $(A, \mathbf{0}) \sim (B, \mathbf{0})$ , consideremos vizinhanças  $V$  de  $\mathbf{0}$  em  $A$ ,  $W$  de  $\mathbf{0}$  em  $B$  e uma aplicação bi-lipschitziana

$$F : (V, \mathbf{0}) \rightarrow (W, \mathbf{0}).$$

Sejam  $0 < c_1 \leq c_2$  constantes de Lipschitz de  $F$ , isto é

$$c_1 |X - Y| \leq |F(X) - F(Y)| \leq c_2 |X - Y|, \forall X, Y \in V.$$

Consideremos  $A_1, \dots, A_k$  e  $B_1, \dots, B_l$  boas decomposições de  $A$  e  $B$ , respectivamente. Usando apenas que  $F$  é um homeomorfismo, temos que  $l = k$ . Agora, para cada  $i$ , seja  $\phi(i)$  tal que  $F(A_i \cap B_\delta(0)) \subset B_{\phi(i)}$ , para um  $\delta > 0$  suficientemente pequeno. Usando que  $F$  é um homeomorfismo e que para  $\delta > 0$  suficientemente pequeno,  $A_i \setminus \{0\} \cap B_\delta(0)$  é componente conexa de  $A \setminus \{0\} \cap B_\delta(0)$ , podemos garantir a boa definição de  $\Phi(i)$ . De fato, é só observarmos que para  $\epsilon > 0$  suficientemente pequeno,  $B_j \setminus \{0\} \cap B_\epsilon(0)$ ,  $j = 1, \dots, k$ , são as componentes conexas de  $B \cap B_\epsilon(0)$ .

Então, sendo  $R = \{A_1, \dots, A_k\}$  e  $S = \{B_1, \dots, B_k\}$ , temos  $\Phi : R \rightarrow S$ , dada por  $\Phi(A_i) = B_{\phi(i)}$ . Mostremos que  $\Phi$  satisfaz:

$$H_0(A_i, A_j) = H_0(\Phi(A_i), \Phi(A_j)).$$

Por absurdo, suponhamos que  $m > n$ , em que

$$m = H_0(A_i, A_j) \text{ e } n = H_0(B_{\Phi(i)}, B_{\Phi(j)}).$$

Temos:

$$\begin{aligned} (|X| \geq r) &\Rightarrow |X - 0| \geq r \Rightarrow \frac{1}{c_1} |F(X) - F(0)| \geq r \\ &\Rightarrow |F(X) - 0| \geq c_1 r \Rightarrow |F(X)| \geq c_1 r. \quad (*) \end{aligned}$$

Assim, dado  $r > 0$  pequeno, existem  $X_i \in A_i \setminus B_r(0)$ ,  $X_j \in A_j \setminus B_r(0)$  tais que

$$\begin{aligned} r^m h(r) &= |X_i - X_j| \geq \frac{1}{c_2} |F(X_i) - F(X_j)| \\ &\geq \frac{1}{c_2} (c_1 r)^n g(c_1 r), \end{aligned}$$

em que a última desigualdade decorre de (\*).

Aqui,  $r^m h(r)$  é a decomposição de Puiseux de

$$dist(A_i \setminus B_r(0), A_j \setminus B_r(0))$$

e  $r^n g(r)$  é a decomposição de Puiseux de

$$dist(B_{\Phi(i)} \setminus B_r(0), B_{\Phi(j)} \setminus B_r(0)).$$

Assim,

$$r^{m-n}h(r) \geq \frac{c_1^n}{c_2}g(c_1r).$$

Fazendo  $r \rightarrow 0$ , temos  $0 \geq g(0)$ . Absurdo.

Então, fica demonstrada uma direção do Teorema de classificação. A outra direção será demonstrada em etapas e, antes de iniciá-la, vejamos algumas consequências imediatas do resultado que provamos agora.

**Corolário 4.1.** Seja  $f : [0, \delta] \rightarrow \mathbb{R}$  semi-algébrica, não negativa tal que  $f(0) = f'(0) = 0$  e com a seguinte decomposição de Puiseux  $f(x) = x^q h(x)$ . Seja  $A$  o gráfico de  $f$  unido com o segmento  $[0, \delta] \times \{0\}$ . Então,  $\Gamma_A(0) : [q]$ .

**Prova.** Antes de qualquer coisa, observemos que

$$f(0) = f'(0) = 0 \Rightarrow q > 1.$$

Consideremos  $F : [0, \delta] \times \mathbb{R} \subset \mathbb{R}^2 \rightarrow \mathbb{R}^2$  dada por  $F(x, y) = (x, yh(x))$ . Aqui, usaremos a métrica do máximo:

$$d(X, Y) = \max \{|x_1 - y_1|, |x_2 - y_2|\},$$

em que  $X = (x_1, x_2)$  e  $Y = (y_1, y_2)$ . Afirmamos que  $F$  aplica uma vizinhança de  $0$  em  $T_q$  semi-algebricamente, de forma bi-Lipschitz, sobre uma vizinhança de  $0$  em  $A$ . Então, se isto acontece, temos pelo teorema anterior que  $\Gamma_A(0) : [q]$ . Resta-nos provar tal afirmação. Para tanto, consideremos

$$0 < \epsilon < \min \left\{ \frac{1}{\sqrt[q-1]{q}}, \xi \right\},$$

em que  $\xi > 0$  é tal que

$$qx^{q-1}h(x) + x^q h'(x) < 1, \forall 0 < x < \xi.$$

Então, dados  $X = (x, x^q)$  e  $Y = (y, y^q)$ ;  $0 \leq y < x \leq \epsilon$ . Pela escolha de  $\epsilon < \frac{1}{\sqrt[q-1]{q}}$ , temos

$$|x - y| = x - y > x^q - y^q = |x^q - y^q|.$$

Assim,

$$d(X, Y) = |x - y|.$$

Analogamente, temos

$$d(F(X), F(Y)) = |x - y|.$$

Nesse caso,

$$d(X, Y) = d(F(X), F(Y)) .$$

Agora, caso tenhamos  $X = (x, x^q)$  e  $Y = (y, 0)$ , sejam  $0 < \lambda < \gamma \in \mathbb{R}$  tais que

$$\frac{1}{\lambda} \leq h(x) \leq \gamma, \forall 0 \leq x \leq \epsilon.$$

Consideremos, também,

$$\eta = \max \{1, \lambda\} \text{ e } \mu = \max \{1, \gamma\} .$$

Então,

$$\begin{aligned} d(X, Y) &\leq |x - y| + x^q \leq |x - y| + \lambda x^q h(x) \\ &\leq \eta (|x - y| + x^q h(x)) \leq 2\eta d(F(X), F(Y)) . \end{aligned}$$

Por outro lado,

$$\begin{aligned} d(F(X), F(Y)) &\leq |x - y| + x^q h(x) \leq |x - y| + \gamma x^q \\ &\leq \mu (|x - y| + x^q) \leq 2\mu d(X, Y) . \end{aligned}$$

Finalmente, como

$$d(X, Y) \leq |X - Y| \leq 2d(X, Y) ,$$

segue-se o resultado. ■

**Corolário 4.2.** Sejam  $f_1, f_2 : [0, \delta] \rightarrow \mathbb{R}$  semi-algébricas;  $f'_1(0) = f'_2(0) = 0$ , com as seguintes decomposições de Puiseux:

$$f_i(x) = x^{q_i} h_i(x) , i = 1, 2.$$

Então o ângulo de Hölder, no ponto  $0$ , entre os gráficos de  $f_1$  e  $f_2$  é maior do que ou igual a  $\min \{q_1, q_2\}$  e se  $q_1 \neq q_2$ , então vale a igualdade.

**Prova.** Chamemos de  $A_i$  ao gráfico de  $f_i$ ,  $i = 1, 2$ , e consideremos  $q = H_0(A_1, A_2)$ . Observemos que

$$f_i'(0) = 0 \Rightarrow q_i > 1.$$

Em particular, se provarmos que  $q \geq \min\{q_1, q_2\}$ , então teremos  $q > 1$ .

Sem perda de generalidade, suponhamos que  $q_1 \leq q_2$ . Seja  $F : [0, \delta] \times \mathbb{R} \rightarrow \mathbb{R}^2$  dada por

$$F(x, y) = (x, y - f_1(x)).$$

Temos que a jacobiana de  $F$  num ponto  $(x, y)$  é dada por

$$\begin{pmatrix} 1 & f_1'(x) \\ 0 & 1 \end{pmatrix}.$$

Logo,  $F$  aplica  $A = A_1 \cup A_2$  semi-algebricamente, de forma bi-lipschitziana, sobre  $B = F(A)$ . Sendo  $B_i = F(A_i)$ ,  $i = 1, 2$ , temos que

$$\begin{aligned} B_1 &= \{(x, y) \in \mathbb{R}^2; 0 \leq x \leq \delta \text{ e } y = 0\}; \\ B_2 &= \{(x, y) \in \mathbb{R}^2; 0 \leq x \leq \delta \text{ e } y = x^{q_1} h_3(x)\}, \end{aligned}$$

em que  $h_3(x) = x^{q_2-q_1} h_2(x) - h_1(x)$ . Pelo teorema anterior, direção provada, temos que o ângulo de Hölder, no ponto  $0$ , entre  $B_1$  e  $B_2$  é  $q$ . Agora, caso  $h_3(0) \neq 0$ , temos pelo corolário 4.1 que  $q = q_1$ . Caso  $h_3(0) = 0$ , vê-se facilmente que  $q > q_1$ . ■

A partir de agora, discutiremos a outra direção do teorema de classificação. Antes disso, vejamos um resultado que compara as ordens de duas funções semi-algebricas que são de grande importância na teoria a seguir. Sendo mais claro, queremos provar que se  $(A, a) \in \mathcal{C}$ ,  $R = \{A_1, \dots, A_n\}$  é uma boa decomposição de  $(A, a)$  e temos que  $r^{\beta_{ij}} h_{ij}(r)$  é a decomposição de Puiseux de

$$\text{dist}(A_i \cap S_r(a), A_j \cap S_r(a)),$$

então  $\beta_{ij} = H_a(A_i, A_j)$ .

**Lema 4.1.** Sejam  $h_A, h_B : [0, \delta] \rightarrow \mathbb{R}$  semi-algébricas, de classe  $C^1$ , tais que  $h_A(0) = h'_A(0) = 0$  e  $h_B(0) = h'_B(0) = 0$ . Sejam  $A$  e  $B$  os gráficos de  $h_A$  e  $h_B$ , respectivamente, e suponhamos que  $A \cap B = \{0\}$  e  $0 \neq h_A(x) > h_B(x) \neq 0 \forall x \in (0, \delta]$ . Consideremos

$$F(r) = \text{dist}(A \setminus B_r(0), B \setminus B_r(0)), \quad L(r) = \text{dist}(A \cap S_r(0), B \cap S_r(0))$$

e

$$F(r) = r^\alpha f(r), \quad L(r) = r^\beta l(r)$$

as decomposições de Puiseux de  $F$  e  $L$ , respectivamente. Então,  $\alpha = \beta$ .

**Prova.** Como  $F(r) \leq L(r) \forall r$ , temos que  $\beta \leq \alpha$ . Então, suporemos por absurdo que  $\beta < \alpha$ . Para  $r > 0$  suficientemente pequeno,  $F(r)$  se realiza em  $X_r$  ou em  $Y_r$ , em que  $X_r$  é o ponto na interseção  $A \cap S_r(0)$  e  $Y_r$  o ponto em  $B \cap S_r(0)$ . De fato, usando o Corolário 4.1, temos que  $\alpha > 1$ . Logo,  $\exists \delta' > 0$  tal que  $F'(r) \geq 0 \forall 0 \leq r \leq \delta'$ . Sabemos que  $F$  é crescente, e como  $F$  é semi-algébrica não constante,  $\exists \epsilon > 0$  tal que  $F$  cresce estritamente em  $[0, \epsilon]$ , pois  $F'(r) > 0$  para  $r > 0$  suficientemente pequeno visto que

$$\{r \in [0, \delta'] ; F'(r) = 0\}$$

possui um número finito de componentes conexas e como não existe  $\eta > 0$  tal que  $F$  seja constante em  $[0, \eta]$  temos que a componente de 0 é  $I = \{0\}$ , assim existe  $\epsilon > 0$  tal que  $F'(r) > 0 \forall 0 < r \leq \epsilon$ .

Sejam  $Z_r^A \in A \setminus B_r(0)$  e  $Z_r^B \in B \setminus B_r(0)$  tais que  $F(r) = |Z_r^A - Z_r^B|$ . Então, para todo  $\epsilon > 0$  suficientemente pequeno, temos que ocorre uma das alternativas:

$$(1) \quad r - \epsilon \leq |Z_{r-\epsilon}^A| < r;$$

$$(2) \quad r - \epsilon \leq |Z_{r-\epsilon}^B| < r.$$

Caso ocorra (1), temos que

$$Z_r^A = \lim_{\epsilon \rightarrow 0} Z_{r-\epsilon}^A = X_r.$$

Caso ocorra (2), temos que

$$Z_r^B = \lim_{\epsilon \rightarrow 0} Z_{r-\epsilon}^B = Y_r.$$

Também, existe  $\xi > 0$  tal que  $F(r)$  se realiza exclusivamente em  $X_r \forall 0 \leq r \leq \xi$  ou em  $Y_r \forall 0 \leq r \leq \xi$ . Pois caso contrário, existe uma seqüência  $(r_n)$  tal que  $r_n \rightarrow 0$  e  $F(r_n) = L(r_n)$ . Absurdo, pois  $\beta < \alpha$ . Suponhamos que  $F(r)$  se realize em  $X_r \forall 0 \leq r \leq \xi$  e definamos

$$V_r = \frac{X_r - Y_r}{L(r)}, W_r = \frac{Z_r - Y_r}{S(r)} \in S_1(\mathbf{0}),$$

em que  $Z_r$  é o ponto de  $B \setminus B_r(\mathbf{0})$  tal que  $F(r) = |X_r - Z_r|$  e  $S(r) = |Z_r - Y_r|$ .

Temos,  $X_r = (x_r, h_A(x_r))$ ,  $Y_r = (y_r, h_B(y_r))$ ,  $Z_r = (z_r, h_B(z_r))$ . Assim,

$$W_r = \frac{1}{S(r)} (z_r - y_r, h_B(z_r) - h_B(y_r))$$

e, sendo

$$q_r = \frac{h_B(z_r) - h_B(y_r)}{z_r - y_r},$$

temos, pelo Teorema do Valor Médio, que

$$\lim_{r \rightarrow 0} q_r = h'_B(0) = 0.$$

Então,

$$\lim_{r \rightarrow 0} W_r = \lim_{r \rightarrow 0} \frac{1}{\sqrt{1 + q_r^2}} (1, q_r) = (1, 0) = \mathbf{e}_1.$$

Como

$$\begin{aligned} L(r) + F(r) &\geq S(r) \geq L(r) - F(r) \\ S(r) + F(r) &\geq L(r) \geq S(r) - F(r) \end{aligned}$$

e

$$\lim_{r \rightarrow 0} \frac{F(r)}{L(r)} = 0$$

temos que

$$\lim_{r \rightarrow 0} \frac{S(r)}{L(r)} = \lim_{r \rightarrow 0} \frac{L(r)}{S(r)} = 1.$$

Afirmamos que  $\lim_{r \rightarrow 0} V_r = \mathbf{e}_1$ . Com efeito, sendo  $c(r) = \langle V_r, W_r \rangle$ , temos que

$$F(r)^2 = L(r)^2 + S(r)^2 - 2L(r)S(r)c(r).$$

Assim,

$$0 = \lim_{r \rightarrow 0} \left( \frac{F(r)}{L(r)} \right)^2 = \lim_{r \rightarrow 0} \left( 1 + \left( \frac{S(r)}{L(r)} \right)^2 - 2 \frac{S(r)}{L(r)} c(r) \right) = 2 - 2 \lim_{r \rightarrow 0} c(r).$$

E, portanto,  $\lim_{r \rightarrow 0} c(r) = 1$ .

Agora, sejam

$$U_r = -\frac{Y_r}{r} \text{ e } d(r) = \langle U_r, V_r \rangle.$$

É fácil ver que  $\lim_{r \rightarrow 0} U_r = -\mathbf{e}_1$ . Assim,

$$\lim_{r \rightarrow 0} d(r) = \langle -\mathbf{e}_1, \mathbf{e}_1 \rangle = -1$$

Por outro lado, sejam

$$U'_r = -\frac{X_r}{r} \text{ e } e(r) = \langle U'_r, -V_r \rangle$$

Como  $|\overline{0X_r}| = r = |\overline{0Y_r}|$ , temos que  $e(r) = d(r)$ . É fácil ver que  $\lim_{r \rightarrow 0} U'_r = -\mathbf{e}_1$ . Assim,

$$-1 = \lim_{r \rightarrow 0} d(r) = \lim_{r \rightarrow 0} e(r) = \lim_{r \rightarrow 0} \langle U'_r, -V_r \rangle = \langle -\mathbf{e}_1, -\mathbf{e}_1 \rangle = 1.$$

O que é, notoriamente, um absurdo.

Agora, o caso em que  $F(r)$  se realiza em  $Y_r$  é estudado de maneira análoga. ■

**Lema 4.2 ( de Comparação das Ordens ).** Sejam  $(A, a) \in \mathcal{C}$ ,  $R = \{A_1, \dots, A_n\}$  uma boa decomposição de  $(A, a)$  e consideremos a seguinte decomposição de Puiseux

$$dist(A_i \cap S_r(a), A_j \cap S_r(a)) = r^{\beta_{ij}} h_{ij}(r).$$

Então  $\beta_{ij} = H_a(A_i, A_j)$ .

**Prova.** No caso em que os vetores tangentes a  $A_i$  e  $A_j$ , em  $a$ , "apontam na mesma direção", temos que  $A_i$  e  $A_j$  são gráficos como nas hipóteses do Lema anterior, porém esse caso já está estudado. Suponhamos que ocorra o contrário. Nesse caso, podemos construir cones  $K_i$  e  $K_j$  com vértices em  $a$ , tais que  $K_i \cap K_j = \{a\}$  e para  $\delta > 0$ , suficientemente pequeno,  $A_i \cap B_\delta(a) \subset K_i$  e  $A_j \cap B_\delta(a) \subset K_j$ .

Sendo

$$d(r) = dist(K_i \setminus B_r(a), K_j \setminus B_r(a)),$$

sabemos que

$$\lim_{r \rightarrow 0} \frac{d(r)}{r} = d \neq 0$$

e

$$d(r) \leq dist(A_i \setminus B_r(a), A_j \setminus B_r(a)) \leq dist(A_i \cap S_r(a), A_j \cap S_r(a)) \leq 2r,$$

daí

$$\beta_{ij} = 1 = H_a(A_i, A_j).$$

■

**Lema 4.3.** Seja  $f : [0, \delta] \rightarrow \mathbb{R}$  semi-algébrica, de classe  $C^1$ , positiva em  $(0, \delta]$ , tal que  $f(0) = f'(0) = 0$  e seja  $A$  o gráfico de  $f$ . Então, existem  $\delta_2 > \delta_1 > 0$  tais que  $P : ([0, \delta] \times \mathbb{R}) \rightarrow \mathbb{R}$  dada por  $p(X) = |X|$ , é bilipschitziana.

**Prova.** Seja  $f(x) = x^\alpha h(x)$  a decomposição de Puiseux de  $f$ . Como  $f'(0) = 0$ , temos  $\alpha > 1$ . Agora, como  $h(0) > 0$  e  $\lim_{x \rightarrow 0} xh'(x) = 0$ , podemos escolher  $\delta_1$  tal que

$$(\alpha - 1)h(x) + xh'(x) > 0, \forall x \in [0, \delta_1].$$

Logo,

$$f'(x) > \frac{f(x)}{x}, \forall x \in (0, \delta_1].$$

Portanto,

$$m(x) = \frac{f(x)}{x}$$

é estritamente crescente em  $[0, \delta_1]$ . Como consequência desse fato, temos a seguinte propriedade de convexidade:  $\forall x \in [0, \delta_1]$  a curva  $\gamma(t) = (t, f(t))$  com  $0 \leq t \leq x$ , está abaixo do segmento  $\overline{0X}$ , em que  $X = (x, f(x))$ .

De volta ao nosso problema, trivialmente, temos que:

$$|P(Y) - P(X)| = ||Y| - |X|| \leq |X - Y|, \forall X, Y \in \mathbb{R}^2.$$

Sendo  $\delta_2 > 0$  tal que  $P(A \cap ([0, \delta_1] \times \mathbb{R})) = [0, \delta_2]$  e  $\pi : \mathbb{R}^2 \rightarrow \mathbb{R}$  a projeção  $\pi(x, y) = x$ , temos que:

$$|t - s| \geq |\pi(P^{-1}(t)) - \pi(P^{-1}(s))|, \forall t, s \in [0, \delta_2] \quad (*)$$

De fato, sem perda de generalidade, suponhamos que  $s < t$ , e consideremos  $E = (e_1, e_2)$  o ponto na interseção  $\overline{0P^{-1}(t)} \cap S_s(0)$ . Como  $t - s$  é a medida da hipotenusa de um triângulo tal que um dos catetos mede  $\pi(P^{-1}(t)) - e_1$ , temos que  $t - s \geq \pi(P^{-1}(t)) - e_1$ . Agora, pela propriedade de convexidade discutida no início da demonstração, temos que  $P^{-1}(s) = (b_1, b_2)$  com  $b_2 \leq e_2$ . Agora, como  $b_1^2 + b_2^2 = s^2 = e_1^2 + e_2^2$ , temos que  $\pi(P^{-1}(s)) = b_1 \geq e_1$ . Daí,

$$t - s \geq \pi(P^{-1}(t)) - e_1 \geq \pi(P^{-1}(t)) - \pi(P^{-1}(s)).$$

Para finalizar, seja  $m \in \mathbb{R}$  tal que  $|f'(t)| \leq m, \forall 0 \leq t \leq \delta_1$ . Então, dados  $0 \leq y \leq x \leq \delta_1$ ,  $X = (x, f(x))$  e  $Y = (y, f(y))$ , temos:

$$|X - Y| \leq \int_y^x \sqrt{1 + f'(t)^2} dt \leq \sqrt{1 + m^2} |x - y| = \sqrt{1 + m^2} |\pi(X) - \pi(Y)|.$$

Então, sendo  $X = P^{-1}(t)$  e  $Y = P^{-1}(s)$ , temos:

$$|P^{-1}(t) - P^{-1}(s)| \leq \sqrt{1+m^2} |\pi(P^{-1}(t)) - \pi(P^{-1}(s))| \leq \sqrt{1+m^2} |t - s|,$$

em que a última desigualdade decorre de (\*).

Daí, temos que  $P^{-1}$  também é de Lipschitz.  $\blacksquare$

**Lema 4.4.** Sejam  $(A, 0), (B, 0) \in \mathcal{C}$ ,  $R = \{A_1, \dots, A_n\}$ ,  $S = \{B_1, \dots, B_n\}$  boas decomposições de  $(A, 0)$  e  $(B, 0)$ , respectivamente. Se

$$H_0(A_i, A_j) = H_0(B_i, B_j), \forall i, j,$$

então  $(A, 0)$  e  $(B, 0)$  são localmente equivalentes bi-Lipschitz.

**Prova.** Consideremos  $\delta > 0$  suficientemente pequeno, tal que  $A_i \cap B_\epsilon(0)$ ,  $i = 1, \dots, n$  sejam as componentes conexas de  $A \cap B_\epsilon(0)$ ,  $\#A \cap S_\epsilon(0) = 1$  e  $B_i \cap B_\epsilon(0)$ ,  $i = 1, \dots, n$  sejam as componentes conexas de  $B \cap B_\epsilon(0)$ , e  $\#B \cap S_\epsilon(0) = 1 \forall 0 \leq \epsilon \leq \delta$ .

Sejam  $A' = A \cap B_\delta(0)$ ,  $B' = B \cap B_\delta(0)$  e  $\phi : A' \rightarrow B'$  tal que  $\phi(X)$  é o ponto na interseção  $B_i \cap S_{|X|}(0)$  em que  $i$  é tal que  $X \in A_i$ . Como  $R$  e  $S$  são boas decomposições de  $(A, 0)$  e  $(B, 0)$ , respectivamente, temos que  $\phi$  é uma bijeção. Dado  $i \in \{1, \dots, n\}$ , temos que  $A_i$  é gráfico sobre sua tangente, no ponto  $0$ , do tipo discutido no Lema 4.3. Logo, existem  $0 < \delta_1^i < \delta_2^i \in \mathbb{R}$  tais que

$$\phi_{A_i} : A_i \cap ([0, \delta_1^i] \times \mathbb{R}) \rightarrow [0, \delta_2^i]$$

dada por  $\phi_{A_i}(X) = |X|$ , é bi-Lipschitz.

Seja  $\delta = \min_i \{\delta_2^i\}$ . Analogamente, temos que para cada  $i \in \{1, \dots, n\}$  existem  $0 < \epsilon_1^i < \epsilon_2^i \in \mathbb{R}$  tais que

$$\phi_{B_i} : B_i \cap ([0, \epsilon_1^i] \times \mathbb{R}) \rightarrow [0, \epsilon_2^i]$$

dada por  $\phi_{B_i}(Y) = |Y|$  é bi-Lipschitz. Sejam  $\epsilon = \min_i \{\epsilon_2^i\}$ ,  $\xi = \min \{\delta, \epsilon\}$ ,  $V = B_\xi(0) \cap A$  e  $W = B_\xi(0) \cap B$ .

Afirmamos que  $\phi_V := \phi|_V : V \rightarrow W$  é bi-Lipschitz. Com efeito, claramente  $\phi_V$  está bem definida,  $\phi_V$  é injetiva porque  $\phi$  é injetiva,  $\phi_V$  é sobrejetiva pois  $R$  e  $S$  são boas decomposições. Agora temos que  $\phi_i := \phi_{B_i}^{-1} \circ \phi_{A_i}$  é bi-Lipschitz,  $\forall i \in \{1, \dots, n\}$ . Então, seja  $\lambda > 0$  uma constante de Lipschitz, que atue como tal, para cada  $\phi_i$ . Também, para cada  $i \neq j$  seja  $f_{ij}^C : [0, \xi] \rightarrow \mathbb{R}$  dada por

$$f_{ij}^C(r) = \text{dist}(C_i \cap S_r(0), C_j \cap S_r(0))$$

e  $g_{ij}^C : [0, \xi] \rightarrow R$  dada por

$$g_{ij}^C(r) = \text{dist}(C_i \setminus B_r(0), C_j \setminus B_r(0)),$$

$C = A, B$ . Consideremos as decomposições de Puiseux

$$f_{ij}^A(r) = r^{\alpha_{ij}} h_{ij}^A(r), \quad f_{ij}^B(r) = r^{\beta_{ij}} h_{ij}^B(r)$$

e

$$g_{ij}^A(r) = r^{\gamma_{ij}} l_{ij}^A(r), \quad g_{ij}^B(r) = r^{\zeta_{ij}} l_{ij}^B(r).$$

Por hipótese,  $\alpha_{ij} = H_0(A_i, A_j) = H_0(B_i, B_j) = \beta_{ij}$ . Pelo Lema 4.2, temos  $\gamma_{ij} = \alpha_{ij}$  e  $\zeta_{ij} = \beta_{ij}$ . Seja

$$m = \sup_{0 \leq r \leq \xi} \left\{ \frac{h_{ij}^A(r)}{l_{ij}^A(r)}, \frac{h_{ij}^B(r)}{l_{ij}^A(r)} \right\}.$$

Então, dados  $X \in A_i$  e  $Y \in A_j$ , suponhamos  $r = |X| \leq |Y| \leq \xi$  e seja  $Z \in A_j \cap S_r(0)$ , temos:

$$\frac{|\phi(X) - \phi(Y)|}{|X - Y|} \leq \frac{|\phi(X) - \phi(Z)|}{|X - Y|} + \frac{|\phi(Z) - \phi(Y)|}{|X - Y|} \leq \frac{f_{ij}^B(r)}{g_{ij}^A(r)} + \frac{|\phi(Z) - \phi(Y)|}{|X - Y|}.$$

Como

$$\frac{f_{ij}^B(r)}{g_{ij}^A(r)} \leq m \text{ e } \lambda \text{ é uma constante de Lipschitz de } \phi_{A_i},$$

temos

$$\frac{|\phi(X) - \phi(Y)|}{|X - Y|} \leq m + \frac{|\phi(Z) - \phi(Y)|}{|X - Y|} \leq m + \lambda \frac{|Z - Y|}{|X - Y|}.$$

## 5 Realização geométrica de SCH.

Usando o Lema de Comparação das Ordens, não é difícil verificar que se  $\Gamma$  é o semicomplexo de  $A$  no ponto  $a$  para algum elemento  $(A, a) \in \mathcal{C}$ , então  $\Gamma$  é um SCH. Diante desse resultado, surge uma pergunta natural, a saber:

Dado um SCH  $\Gamma$ , existe  $(A, a) \in \mathcal{C}$  tal que  $\Gamma$  é o semicomplexo de  $A$  no ponto  $a$ ?

O teorema que discutiremos a seguir, dá uma resposta positiva à pergunta acima.

**Teorema 5.1.** Dado  $(R, \alpha) \in \mathfrak{R}$ ;  $[R, \alpha]$  é SCH (e  $R = \{1, \dots, n\}$ ), existem gráficos

$$A_i = \{(x, f_i(x)) \in \mathbb{R}^2; 0 \leq x \leq \epsilon\},$$

tais que  $f_i$  é uma função semi-algébrica diferenciável e  $f_i(0) = 0$ ,  $i = 1, \dots, n$ . Além disso,  $A_1, \dots, A_n$  é uma boa decomposição de  $A = \bigcup_{i=1}^n A_i$  no ponto  $\mathbf{0} = (0, 0)$  e, finalmente,  $\alpha_{ij} = H_0(A_i, A_j)$ .

**Demonstração.** Essa demonstração será feita por indução sobre  $\#R$ . No Caso  $\#R = 1$ , nada temos a fazer. No caso  $\#R = 2$  os triângulos de Hölder resolvem o nosso problema. Então, por hipótese de indução, suponhamos que o teorema seja válido para todo  $(R, \alpha) \in \mathfrak{R}$ ;  $[R, \alpha]$  é SCH e  $\#R = n$ . Consideremos  $(R, \alpha) \in \mathfrak{R}$ ;  $[R, \alpha]$  é SCH e  $\#R = n+1$ . Seja  $\alpha_{i_0 j_0} = \max \{\alpha_{ij}\}$ . Então, considerando  $(R, \alpha)$  modificado por uma permutação  $\Phi : R \rightarrow R$  tal que  $\Phi(i_0) = 1$  e  $\Phi(j_0) = 2$ . Temos que  $(R, \alpha) \in \mathfrak{R}$ ;  $[R, \alpha]$  é SCH,  $\#R = n+1$  e  $\alpha_{12} = \max \{\alpha_{ij}\}$ . Denotemos  $q = \alpha_{12}$ . Então, sejam  $S = \{2, \dots, n+1\}$  e  $\beta = \alpha|_{S \times S}$ . Temos que  $[S, \beta]$  é um SCH de  $n$  vértices. Logo, por hipótese de indução, existem funções semi-algébricas  $g_2, \dots, g_{n+1}$  diferenciáveis num intervalo  $[0, \delta]$  tais que  $g_k(0) = 0$ ,  $k = 2, \dots, n+1$ , e  $\beta_{ij} = H_0(B_i, B_j)$ , em que

$$B_i = \{(x, g_i(x)) \in \mathbb{R}^2; 0 \leq x \leq \epsilon\}; i = 2, \dots, n+1,$$

nos dá uma boa decomposição de  $B = \bigcup_{i=2}^{n+1} B_i$  no ponto  $\mathbf{0} = (0, 0)$ . Observemos que existem racionais  $q_2, \dots, q_{n+1} \leq q$  tais que  $g_i(x) = x^{q_i} h_i(x)$  (decomposição de Puiseux),  $i = 2, \dots, n+1$ .

Daí,

$$\frac{|\phi(X) - \phi(Y)|}{|X - Y|} \leq m + \lambda \left( \frac{|Z - X|}{|X - Y|} + \frac{|X - Y|}{|X - Y|} \right) \leq m + \lambda + \lambda \frac{f_{ij}^A(r)}{g_{ij}^A(r)}.$$

Como

$$\frac{f_{ij}^A(r)}{g_{ij}^A(r)} \leq m,$$

temos

$$|\phi(X) - \phi(Y)| \leq (m + \lambda + \lambda m) |X - Y|.$$

Assim, concluímos que  $\phi_V$  é de Lipschitz. Analogamente, podemos mostrar que  $\phi_V^{-1}$  é de Lipschitz. ■

Então, fica demonstrado o teorema de classificação. ■

Sejam  $\xi > 0$  e

$$g_1(x) = g_2(x) + \xi x^q.$$

tais que  $g_1(x) \neq g_i(x)$  para todo  $i = 2, \dots, n+1$  e todo  $x \in [0, \delta']$ . Seja  $B_1$  o gráfico de  $g_1$ . Então, sendo  $B' = \bigcup_{i=1}^{n+1} B_i$ , claramente  $\alpha_{ij} = H_0(B_i, B_j)$  para quaisquer  $2 \leq i < j \leq n+1$ . E, pelos Corolários 4.1 e 4.2, temos que  $\alpha_{1i} = H_0(B_1, B_i)$  para  $i = 2, \dots, n+1$ . Então, definindo

$$A_i = B_{\Phi(i)} \text{ e } f_i(x) = g_{\Phi(i)}(x) \text{ para } i = 1, \dots, n+1$$

e sendo  $A = \bigcup_{i=1}^{n+1} A_i$ , obtemos o desejado. ■

## 6 Conexão com Mergulhos Normais

Dado um subconjunto  $A \subset \mathbb{R}^n$  semi-algébrico conexo, podemos considerar duas métricas naturais em  $A$ , a primeira é a métrica euclidiana induzida (met. ind.) e a segunda é a que definiremos a seguir:

dados  $x, y \in A$ , seja

$$C_{xy} = \{\phi : [0, 1] \rightarrow A, \text{ contínua; } \phi(0) = x \text{ e } \phi(1) = y\}.$$

Seja

$$d(x, y) = \inf_{\phi \in C_{xy}} l(\phi)$$

em que

$$l(\phi) = \sup \left\{ \sum_{k=1}^n |\phi(t_k) - \phi(t_{k-1})| ; 0 = t_0 < t_1 < \dots < t_n = 1 \right\}.$$

Temos que  $d$  define uma métrica em  $A$ , veja [Yo]. Dizemos que  $d$  é a *métrica geodésica relativa à métrica induzida* (met. geod.).

Sejam  $A \subset \mathbb{R}^n$  e  $a \in A$ . Dizemos que  $(A, a)$  é *localmente normalmente mergulhado* (l.n.m.) se existem  $0 < c_1 \leq c_2$  e uma vizinhança  $V$  de  $a$  em  $A$  tal que

$$c_1 |X - Y| \leq d(X, Y) \leq c_2 |X - Y|, \forall X, Y \in V.$$

Isto é, as métricas ind. e geod. quando restritas a  $V$  são equivalentes.

**Observação 6.1.** A condição de ser l.n.m. é um invariante local de Lipschitz, melhor dizendo, dados  $(A, a), (B, b) \in \mathcal{C}$  tais que  $(A, a) \sim (B, b)$ , então  $(A, a)$  é l.n.m. se, e só se,  $(B, b)$  é l.n.m.

**Exemplo 6.1.** Sejam  $m \in \mathbb{R}$  e

$$A = \{(x, y) \in \mathbb{R}^2; [y = 0 \text{ e } 0 \leq x \leq 1] \text{ ou } [y = mx \text{ e } 0 \leq x \leq 1]\}$$

Afirmamos que  $(A, 0)$  é localmente normalmente mergulhado. De fato, dados  $X, Y \in A$ , sendo

$$\lambda = \sqrt{1 - \frac{1 + \cos \theta}{2}}, \text{ em que } \tan \theta = m,$$

temos

$$\lambda(|X| + |Y|) \leq \sqrt{|X|^2 + |Y|^2 - 2|X||Y|\cos \theta}.$$

Portanto,

$$\lambda d(X, Y) \leq |X - Y| \leq d(X, Y).$$

Como queríamos mostrar.

Dizemos que o semicomplexo  $\Gamma$  é *trivial* quando  $\forall (R, \alpha) \in \Gamma, \alpha(r, s) = 1 \forall r, s \in R$  distintos.

**Exemplo 6.2.** Consideremos a curva semi-algébrica  $A$ , definida no Exemplo 6.1. Pelo Exemplo 3.2, temos que  $\Gamma_A(0)$  é trivial. Em geral, temos

**Teorema 6.1.** Seja  $(A, a) \in \mathcal{C}$ .  $(A, a)$  é l.n.m. se, e só se,  $\Gamma_A(a)$  é trivial.

**Prova.** Suponhamos que  $(A, a)$  seja localmente normalmente mergulhado. Então existem constantes  $0 < c_1 \leq c_2$  e uma vizinhança  $V$  de  $a$  em  $A$  tais que

$$c_1 d(X, Y) \leq |X - Y| \leq c_2 d(X, Y), \forall X, Y \in V.$$

Seja  $A_1, \dots, A_n$  uma boa decomposição de  $(A, a)$ . Dados  $i \neq j$ , para  $r > 0$ , suficientemente pequeno, sejam  $X_r$  e  $Y_r$  os pontos que constituem as interseções  $S_r(a) \cap A_i$  e  $S_r(a) \cap A_j$ , respectivamente. Temos,

$$\begin{aligned} 2r &\geq |X_r - Y_r| \geq c_1 d(X_r, Y_r) \\ &= c_1 (d(X_r, a) + d(a, Y_r)) \\ &\geq c_1 (r + r) = 2c_1 r. \end{aligned}$$

Pelo Lema de Comparaçāo das Ordens,  $H_a(A_i, A_j) = 1$ .

Reciprocamente, suponhamos que  $\Gamma_A(a)$  seja trivial. Pelo Teorema de Classificação temos que

$$(A, a) \sim (B, b)$$

em que  $b = 0$  e

$$B = \{(x, y) \in \mathbb{R}^2; 0 \leq x \leq 1 \text{ e } [(y = 0) \text{ ou } (y = 1 \cdot x) \text{ ou } \dots \text{ ou } (y = n \cdot x)]\}$$

em que  $n = v(\Gamma_A(a))$ . Por outro lado, pelo Exemplo 6.1, temos que  $(B, b)$  é l.n.m. Finalmente, pela Observaçāo 6.1, temos que  $(A, a)$  é l.n.m. ■

## Referências

- [BCR] Bochnak J., Coste M., Roy M.F. Géométrie algébrique réelle. *Ergbnisse der Mathematik*, Springer-verlag (1986).
- [Bi] Birbrair L. Local bi-Lipschitz classification of 2-dimensional semialgebraic sets. *Preprint* (1996).
- [BR] Benedetti R., Risler J-J. Real algebraic and semialgebraic sets. *Hermann* (1990).
- [Pa] Pawlucki W. Le théorème de Puiseux pour une application sous-analytique. *Bull. Pol. Acad. Sci. Math.* Vol. 32, No. 9-10 (1984).
- [Yo] Yomdin J. Metric properties of semialgebraic sets and mappings and their applications in smooth analysis. *Proc. of LaRabida Conf.* *Hermann* (1991).

Universidade Federal do Ceará  
Departamento de Matemática  
Campus do Pici, Bloco 914  
CEP. 60455-760